

بررسی پدیده‌های انتقال گرما، حرارت و رئولوژی گل حفاری در مسیر رفت و برگشت به داخل چاه

علی اصغر حمیدی

استادیار گروه مهندسی شیمی - دانشکده فنی - دانشگاه تهران

محمد رضا خرقانی

دانشجوی فارغ التحصیل کارشناسی ارشد - دانشکده فنی - دانشگاه تهران

(تاریخ دریافت ۷۵/۸/۲۰، تاریخ تصویب ۷۷/۲/۱۲)

چکیده

جريان گل حفاری به درون چاه از مسیر مرکز لوله حفاری، روزنه‌های سرمه و فاصله بین لوله حفاری و لوله جداری چاه با پدیده‌های پیچیده انتقال حرارت و جابجایی گل و کنده‌های حفاری همراه است. حرارت قابل ملاحظه‌ای در نقطه حفاری به علت اصطکاک بین سرمه با زمین حاصل می‌گردد و دمای زمین نیز با عمق افزایش می‌یابد. این پدیده‌ها باعث تغییرات دما در گل حفاری و بنابراین تغییر خواص فیزیکی خصوصاً گرانزوی آن می‌گردند. در مسیر برگشت، گل باید کنده‌های حاصل از حفاری را با خود حمل کرده به سطح زمین منتقل کند. توانایی گل در انجام این فرآیند نیز به گرانزوی غیرنیوتی گل و تغییرات فشار در مسیر جريان بستگی دارد.

در این مطالعه تغییرات گرانزوی گل به علت تغییرات دما مورد مطالعه قرار گرفته است و با حل معادلات ریاضی حاکم بر انتقال حرارت و جابجایی گل در طول مسیر حرکت چگونگی حمل کنده‌های حفاری توسط گل مورد بررسی واقع شده است.

کلیدواژه‌ها: گل حفاری، رئولوژی، افت فشار، انتقال حرارت، مدل سازی

مقدمه

یک سیال غیر نیوتی می‌باشد، قبل از هرچیز باید یک معادله حرکت مناسب برای آن انتخاب شود.

در مقاله حاضر تغییرات گرانزوی گل حفاری در اثر تغییرات دما در مسیر حرکت گل مورد مطالعه قرار گرفته است و با ارائه مدلی شامل این تغییرات افت فشار برای جريان گل و همچنین چگونگی حمل کنده‌ها به سطح زمین مطالعه شده است. تتابع حاصل با داده‌های تجربی از یک چاه در حال حفر در منطقه نفت خیز جنوب مقایسه شده و نتایج رضایت بخش مشاهده شده است.

روابط حاکم برای مدل ریاضی

در این بخش معادلات و روابط حاکم در اجراء مدل

در حفاری گل از درون لوله‌ای در حال دوران که بر سر آن متنه نصب شده است به طرف پایین حرکت کرده، پس از خروج از روزنه‌های متنه و خنک کردن سر آن از مجرای حلقوی بین لوله متنه و حفره ایجاد شده در زمین به طرف بالا حرکت می‌کند که ضمن این کار کنده‌ها را با خود به طرف بالا حمل مینماید. گل حفاری در مسیر حرکت خود در چاه وظایف متعددی را به عهده دارد که از مهمترین آنها حمل کنده‌های حفاری به سطح زمین است. برای مطالعه این وظیفه گل حفاری خواص فیزیکی خصوصاً گرانزوی آن در عمق چاه، به همراه تاثیر عوامل خارجی مانند دما و تنش موضعی در هر نقطه از مسیر حرکت باید تعیین شوند. بنابراین لازم است که توزیع دما و گرادیان فشار در طول مسیر حرکت گل تعیین شود. با توجه به اینکه، گل حفاری

با تعیین مقادیر جدید سرعت و گرانروی خمیره‌ای گل، عدد رینولدز (Re) قابل محاسبه است.

$$Re = \frac{\rho V_T d_i}{\mu_{pr}} \quad (5)$$

مقدار (Re) بحرانی برای گل حفاری حدود ۲۱۰۰ در نظر گرفته می‌شود که برای عدد (Re) بیشتر از این مقدار، جریان ناآرام و برای مقادیر کمتر از این حد جریان آرام است.

مسیر حرکت گل در چاه را، همانطور که در شکل (۱) نشان داده شده است می‌توان به سه ناحیه تقسیم کرد. افت فشار برای هر ناحیه عبارت است از:

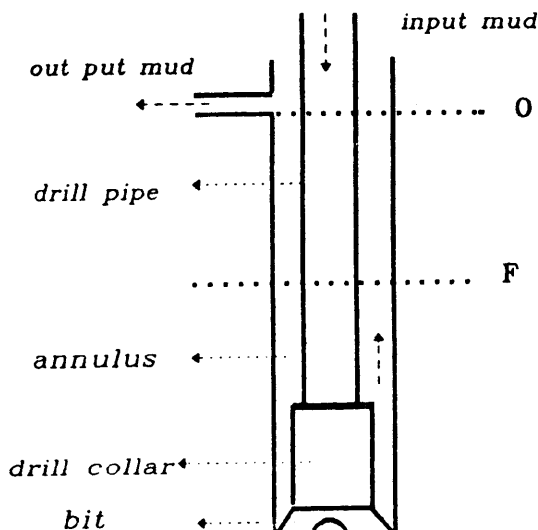
- ۱ - مسیر رفت گل به داخل چاه یا عبور از لوله حفاری [۱,۳,۵]

$$Re < 2100$$

$$\Delta P_d = \frac{\tau_y L}{225d_i} + \frac{\mu_{pr} L V_T^2}{1500d_i^2} \quad (6)$$

$$Re > 2100$$

$$\Delta P_d = \frac{FL \rho V_T^2}{25.8 d_i} \quad F = 0.05 / Re^{0.2} \quad (7)$$



شکل ۱: شماتی ساده‌ای از مسیر رفت و برگشت گل در چاه.

۲ - مرحله عبور از نازلهای متنه [۱].

$$\Delta P_b = \frac{Q^2 \rho}{7430 C^2 d_e^4} \quad (8)$$

ضریب تخلیه نازل که برای نازلهای مورد استفاده در متنه حفاری حدود ۹۵٪ است و d_e قطر معادل نازلهایست که

ریاضی مطرح شده ارائه می‌گردد.

رئولوژی گل حفاری

گل حفاری یک سیال غیرنیوتی است. پس از مطالعه نظری و تجربی گل حفاری تیجه گیری شد که بهترین رابطه برای بیان حرکت گل حفاری معادله بینگهای پلاستیک است که به شکل زیر ارائه می‌گردد [۱]:

$$\tau - \tau_y = \mu_p \left(\frac{du}{dy} \right) \quad (1)$$

که τ_y تنش تسلیم، μ_p گرانروی خمیره‌ای^(۱) و du/dy گرادیان سرعت برای حرکت گل می‌باشد.

گرادیان و افت فشار در مسیر حرکت گل حفاری به هنگام حفاری، لوله در حال دوران است. بنابراین انتظار می‌رود که در این حالت افت فشار نسبت به جریان در لوله ساکن بیشتر باشد. آزمایشات انجام شده در این زمینه این نظریه را تأیید می‌کند. این افزایش در افت فشار به علت تغییر سرعت و گرانروی خمیره‌ای گل می‌باشد. معادلات زیر مقادیر جدید سرعت و گرانروی خمیره‌ای را برای گل نشان میدهند [۲].

$$V_T = (V_1^2 + V_2^2)^{1/2} \quad (2)$$

$$\mu_e = \mu_p + 6.67 \tau_y d_i / V_1 \quad (3)$$

$$\mu_{pr} = \mu_e - 6.67 \tau_y d_i / V_T \quad (3-\text{الف})$$

$$\mu_e = \mu_p + 5.0 \tau_y (D - d_o) / V_1 \quad (4)$$

$$\mu_{pr} = \mu_e - 5.0 \tau_y (D - d_o) / V_T \quad (4-\text{الف})$$

معادلات (۳) و (۳ - الف) برای لوله حفاری و معادلات (۴) و (۴ - الف) برای فضای حلقی می‌باشد، که:

V_1 بردار سرعت ناشی از چرخش لوله حفاری

V_2 بردار سرعت حاصل از نیروی پمپ

V_T بردار برآیند سرعت

d_i ، d_o و D به ترتیب قطر داخلی لوله حفاری، قطر خارجی لوله حفاری و قطر سوراخ حفر شده می‌باشند.

μ_p به ترتیب گرانروی موثر و گرانروی خمیره‌ای تحت تاثیر چرخش لوله حفاری می‌باشد.

افت فشار گل در فضای حلقوی از نقطه O تا نقطه F

افت فشار گل در لوله حفاری از نقطه O تا نقطه F

فشار ستون گل در عمق F در داخل فضای حلقوی

فشار ستون گل در عمق F در داخل لوله حفاری

برابر است با: $d_e = (d_1^2 + d_2^2 + \dots + d_n^2)^{1/2}$

۳ - مسیر برگشت گل به سطح زمین یا عبور از فضای حلقوی [۱، ۳، ۵].

$Re < 2100$

$$\Delta P_a = \frac{\tau_v L}{200 (D-d_o)} + \frac{\mu_{pr} L V_T}{1000 (D-d_o)^2} \quad (9)$$

$Re > 2100$

$$\Delta P_a = \frac{FL \rho V_T^2}{25.8 (D - d_o)} \quad F = 0.05 / Re^{0.2} \quad (10)$$

افت فشار کل یا فشار لازم برای به حرکت در آوردن گل در چاه از مجموع افت فشار در سه مرحله بدست می‌آید.

$$\Delta P_t = \Delta P_d + \Delta P_b + \Delta P_a \quad (11)$$

توزیع دما در مسیر حرکت گل
مسیر رفت و برگشت گل به داخل چاه را میتوان مانند یک مبدل حرارتی که سیال سرد آن گل و روودی به چاه و سیال گرم آن گل خروجی از چاه می‌باشد درنظر گرفت.
شکل (۲) جزئی از چاه به ارتفاع dx را نشان میدهد، معادلات موازنۀ انرژی برای این المان به شکل زیر می‌باشد:

$$m_i C_p \frac{dT_p}{dx} = U(\pi \cdot d_i) (T_a - T_p) + P_1 \quad (15)$$

$$m_o C_p \frac{dT_p}{dx} = -U(\pi \cdot d_o) (T_a - T_p) + h_f (\pi \cdot d_o)(T_f - T_a) + P_2 \quad (16)$$

T_f ، T_a و T_p به ترتیب دمای سیال درون لوله، مجرای حلقوی و دمای زمین در عمق x میباشند h_f و U به ترتیب ضرائب کلی انتقال حرارت بین فضای حلقوی و زمین و فضای حلقوی و لوله حفاری میباشند.

مقادیر P_1 و P_2 که عبارتند از گرمای تولید شده ناشی از اصطکاک در طول مسیر از رابطه زیر محاسبه می‌گردند [۴].

$$P_1 = 1.484 m_i \Delta P_a \quad (17 - \text{الف})$$

$$P_2 = 1.484 m_o \Delta P_a \quad (17 - \text{ب})$$

ΔP_a و ΔP_p به ترتیب افت فشار برای واحد طول در لوله حفاری و فضای حلقوی و m_i و m_o به ترتیب دبی جریان گل درون لوله و در مجرای حلقوی میباشند.

برای تعیین ضرایب کلی انتقال حرارت باید ضرایب انتقال حرارت در داخل لوله حفاری (h_p) و مجرای حلقوی (h_a) را محاسبه کرد و برای بدست آوردن این ضرایب از عدد ناسلت (Nu) استفاده میشود.

رابطه زیر برای محاسبه عدد ناسلت ارائه شده است [۴].

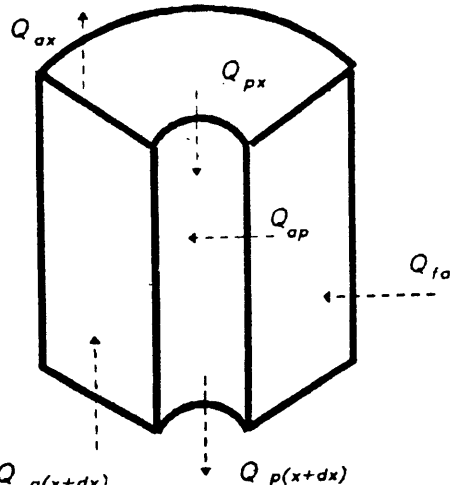
برای جریان آرام: $Re < 2100$

برای لوله حفاری:

برای محاسبه فشار در یک نقطه مانند (F) در شکل (۳) بصورت زیر عمل میشود.

$$P_{FP} = P_H - \Delta P_{a(o-f)} \quad (14 - \text{الف})$$

$$P_{FP} = P_H + (\Delta P_t - \Delta P_{p(o-f)}) \quad (14 - \text{ب})$$



شکل ۲: شماتی ساده‌ای از یک المان از مسیر رفت و برگشت گل.

$$\Delta T = \frac{Q}{mC_p} \quad (27)$$

K_f ضریب اصطکاک بین متنه و زمین، W قسمتی از وزن متنه که به زمین اعمال میگردد.

V سرعت حرکت مته و A_w سطح تماس مته و زمین است. با تعیین توزیع درجه حرارت و گرادیان فشار در طول مسیر حرکت گل میتوان گرانروی خمیره‌ای و تنش تسیلیم در هر عمق را مشخص نمود.

سرعت حرکت کنده‌های حفاری در گل با تعیین گرانروی خمیره‌ای و تنش تسیلیم گل در طول مسیر، نیروهای وارد بر کنده‌های حفاری درون گل تعیین میشوند و سپس سرعت صعود یا سقوط کنده‌ها در گل تعیین میگردد.

نیروهای اعمال شده به یک ذره درون سیال عبارتند از:

۱ - نیروی ثقلی که ناشی از وزن ذره میباشد.

$$G.F = \frac{1}{6} \pi D_p^3 \rho_s g \quad (28)$$

۲ - نیروی شناوری که در جهت عکس نیروی وزن از طرف سیال وارد میشود.

$$B.F = \frac{1}{6} \pi D_p^3 \rho g \quad (29)$$

۳ - نیروی دراگ که در خلاف جهت حرکت به ذره وارد میشود.

$$D.F = \frac{1}{2} \rho C_D A V^2 \quad (30)$$

برای تعیین سرعت حد سقوط یک ذره در سیال، مجموع سه نیروی فوق برابر صفر قرار داده میشود [۵].

$$\frac{1}{6} \pi D_p^3 \rho_s g = \frac{1}{6} \pi D_p^3 \rho g + \frac{1}{2} \rho C_D A V^2 \quad (31)$$

که:

D_p : قطر معادل ذرات

ρ : دانسیته گل

ρ_s : دانسیته ذرات کنده شده

C_D : ضرایب دراگ

A : مساحت سطح تصویر شده ذرات بر افق

برای تعیین ضرایب دراگ (C_D) میتوان از شکل (۳) استفاده نمود.

$$Nu = 2.0 \quad (18)$$

برای مجرای حلقوی:

$$Nu = 3.66 \quad (19)$$

برای جریان ناآرام:

$$Nu = 0.015 Re^{0.83} Pr^{0.42} \quad (20)$$

$$h = \frac{K_f Nu}{D} \quad (21)$$

K_f ضریب هدایت گل و D یک قطر مشخصه است.

با استفاده از معادلات فوق ضرایب انتقال حرارت در مسیر رفت و برگشت تعیین می‌شوند. و سپس با بکارگیری معادلات زیر، ضرایب کلی انتقال حرارت تعیین می‌شود.

$$\frac{1}{h_f} = \frac{1}{h_a} + \frac{(d_i/2)}{K_s} \ln \left(\frac{D_o}{D_i} \right) + \frac{(d_i/2)}{K_c} \ln \left(\frac{D}{D_o} \right) \quad (22)$$

$$\frac{1}{U} = \frac{1}{h_p} + \left(\frac{d_i}{d_o} \right) \frac{1}{h_a} + \frac{(d_i/2)}{K_s} \ln \left(\frac{d_o}{d_i} \right) \quad (23)$$

K_s و K_c به ترتیب ضرایب هدایت سیمان و فولاد، d_i و D_o به ترتیب قطر داخلی و خارجی لوله حفاری و d_o و D_o به ترتیب قطر داخلی و خارجی لوله جداری میباشند. با تعیین مقادیر U ، h_f ، h_p و P_2 در معادلات (۱۵) و (۱۶)، این معادلات را بطور همزمان حل کرده و توزیع درجه حرارت در مسیر رفت و برگشت بصورت زیر بدست آورده میشود.

$$T_p = K_1 e^{m_1 x} + K_2 e^{m_2 x} + D_1 X + D_2 \quad (24)$$

$$T_a = \left(\frac{m_1}{A_1} + 1 \right) K_1 e^{m_1 x} + \left(\frac{m_2}{A_1} + 1 \right) K_2 e^{m_2 x} + D_1 X + \left(\frac{D_1}{A_1} \frac{A_2}{A_1} + D_2 \right) \quad (25)$$

برای تعیین اعداد ثابت انتگرال گیری D_1 ، D_2 ، K_1 و K_2 از شرایط مرزی مناسب استفاده میشود. سایر پارامترهای توضیح داده نشده حاصل از تجزیه تحلیل ریاضی مربوطه میباشند [۶].

برای تعیین افزایش دمای گل در هنگام عبور از متنه باید گرمای تولید شده در اثر اصطکاک متنه با زمین تعیین شود.

$$Q = \frac{K_f W V}{A_w} \quad (26)$$

و بالاخره قطر و تعداد نازلهای متنه.

فرضیات مطرح در حل مساله عبارتند از:

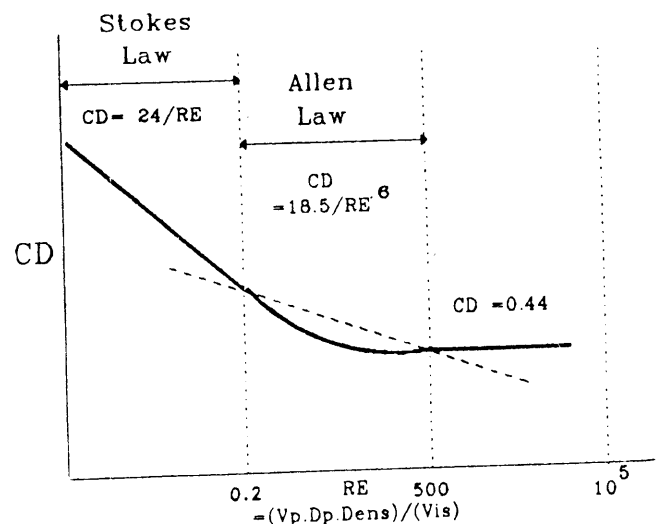
چاه در شرایط عادی قرار داد (یعنی فرار گل به داخل سازند اتفاق نیافتد) و شبیه توزیع دما در زمین در عمقهای مختلف یکسان باشد. برای حل معادلات توزیع دما و گرادیان فشار مسیر حرکت گل حفاری را به اجزائی کم ارتفاع طوری که بتوان خصوصیات فیزیکی گل را در آن جزء ثابت درنظر گرفت تقسیم کرده و هر جزء همزمان با اجزاء دیگر حل میگردد. در ابتدا داده‌های لازم بصورت ورودی به نرم‌افزار داده میشود. سپس با ثابت درنظر گرفتن مقادیر گرانزوی خمیره‌ای و تنش تسیلیم معادلات مربوط به افت فشار، گرادیان فشار، ضرایب انتقال حرارت، گرمای حاصله از اصطکاک و توزیع دما حل شده و در نتیجه مقادیر گرانزوی خمیره‌ای و تنش تسیلیم با استفاده از دورن یابی داده‌ها در هر جزء تعیین میشود. با استفاده از این مقادیر جدید معادلات مجدداً حل میگردد و این مراحل آنقدر تکرار میشود تا مقادیر بدست آمده از دو مرحله متوالی دارای تفاوت اندکی باشد. پس از تعیین مقادیر گرانزوی خمیره‌ای و تنش تسیلیم با محاسبه نیروهای واردہ بر کنده‌های حفاری سرعت سقوط یا صعود این ذرات تعیین می‌شوند.

مثال و نتیجه گیری

با استفاده از مدل ارایه شده و حل روابط حاکم، کاربرد این مدل و مقایسه آن با یک مثال واقعی مورد بررسی قرار میگیرد اطلاعاتی که در رابطه با یک چاه نفت در دست حفاری واقع در منطقه نفت خیز جنوب کشور تهیه و نتایج مدل با این داده‌ها مقایسه شده است.

مشخصات چاه مذکور به قرار زیر است:

| | | |
|-----------|----------|--------|
| ۱۱۲۰۰ | (Ft) | ۳۴۱۳ |
| ۵/۸۷۵ | (in) | ۱۵ |
| ۲/۷۶-۳/۱ | (in) | ۷-۷/۸ |
| ۲/۲۵-۴/۷۵ | (in) | ۵/۷-۱۲ |
| ۷۵۰ | (Ft) | ۲۲۸/۶ |
| ۹/۳۵ | (lb/gal) | ۱۱۲۰ |



شکل ۳: منحنی ضریب درگ بر حسب عدد Re.

اگر $Re < 0.2$ باشد سرعت سقوط ذره طبق معادله زیر قابل محاسبه است:

$$V = \left(\frac{4}{3} D_p (\rho_s - \rho) g / C_D \rho \right)^{0.5} \quad (32)$$

با محاسبه سرعت سقوط، میتوان عدد رینولدز را محاسبه کرد. اگر عدد فوق کوچکتر از $2/0$ نبود از قسمت دیگر منحنی استفاده میشود. با تعیین سرعت سقوط کنده‌ها و سرعت حرکت گل در فضای حلقوی، برآیند سرعت حرکت کنده‌ها تعیین میشود.

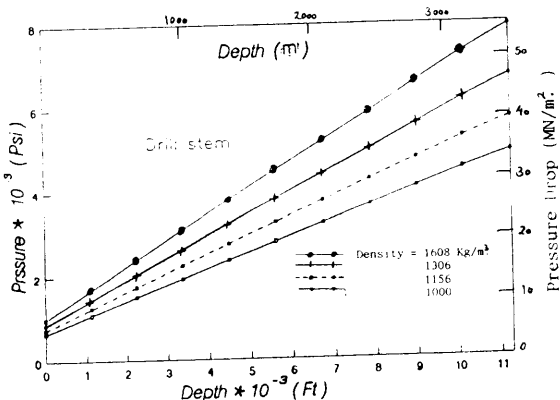
چگونگی حل روابط حاکم بر مسئله

داده‌های موردنیاز برای حل این مسئله عبارتند از دمای گل ورودی، دبی جریان گل، دانسیته، گرانزوی و تنش تسیلیم گل، قطر داخلی و خارجی لوله حفاری و لوله‌های جداری، سرعت دوران لوله حفاری، گرادیان دما در زمین

| | |
|---------------------------------|-------------------|
| عمق چاه به هنگام برداشت اطلاعات | m |
| قطر چاه | Cm |
| قطر داخلی و خارجی لوله حفاری | Cm |
| قطر داخلی و خارجی لوله جداری | Cm |
| طول لوله جداری | m |
| دانسیته گل | Kg/m ³ |

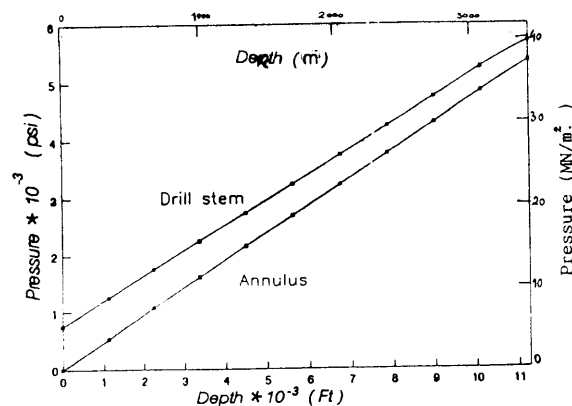
| | | | | |
|---------|--------------------------|-----------|-------------------|----------------------------------|
| ۱۴ | (C.P) | ۱۴ | mNs/m^2 | گرانروی خمیرهای گل |
| ۵ | (lb/100Ft ³) | ۲۴/۱۵ | $lb/100m^3$ | تنش تسليم Yield Point |
| ۳ | | ۳ | | تعداد نازلهای متنه |
| ۰/۳۲۴ | (in) | ۸/۲ | mm | قطر نازلهای متنه |
| ۱۲۵ | (GPM) | ۲۸/۳۹ | m^3/hr | دبی ورودی گل |
| ۱۵۰ | (GPM) | ۳۴/۰۷ | m^3/hr | دبی خروجی گل |
| ۶۰ | (RPM) | ۶۰ | RPM | سرعت دوران متنه |
| ۰/۰۱۳ | (°F/Ft) | ۰/۰۲۳ | °C/m | گرادیان درجه حرارت زمین در منطقه |
| ۸۰ | (°F) | ۲۶/۷ | °C | درجه حرارت گل ورودی به چاه |
| ۸۵-۹۰ | (°F) | ۲۹/۵-۳۲/۲ | °C | درجه حرارت گل خروجی از چاه |
| ۱۸۰-۱۸۵ | (°F) | ۸۲/۲-۸۵/۰ | °C | حرارت گل در ته چاه |
| ۶۵۰-۷۰۰ | (Psi) | ۴/۴۸-۴/۸۳ | MN/m ² | افت فشار دوسر پمپ گل |

دماهی واقعی انتهای چاه و مقدار محاسبه شده وجود دارد و از طرف دیگر افت فشار پیش بینی شده با افت فشار واقعی اندازه گیری شده ۷۵۱Psi(51.8MN/m²) مطابقت خوبی دارد.



شکل ۵: گرادیان فشار در مسیر رفت گل، برای گل با دانسیتهای مختلف در چاه.

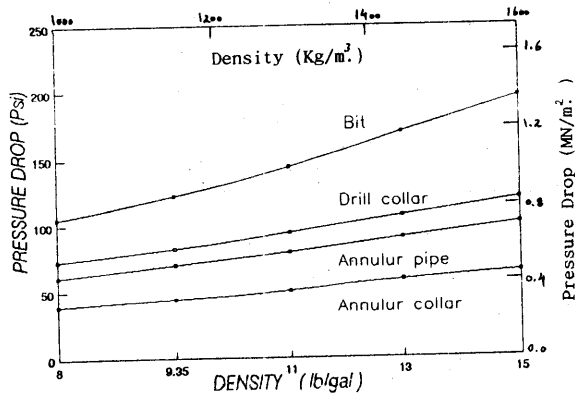
پس از اطمینان از عملکرد صحیح نرم افزار، مطالعه پارامتریک بر روی گرادیان فشار و توزیع درجه حرارت بر حسب متغیرهای مدل (دانسیته گل، گرانروی، ضریب



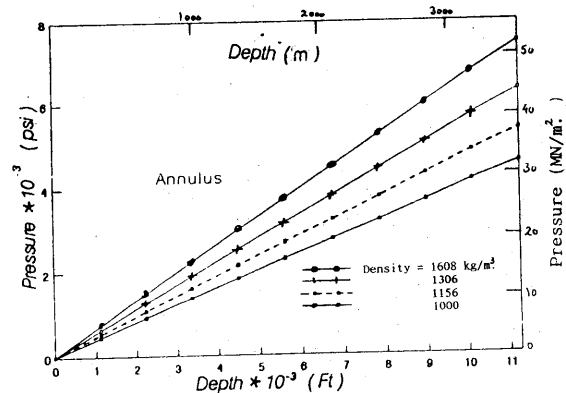
شکل ۴: گرادیان فشار در مسیر رفت و برگشت گل، در چاه.

با استفاده از داده های فوق از نرم افزار تهیه شده استفاده و نتایج نشان داده شده، در شکل های ۴ و ۱۳ بدست آورده شده است.

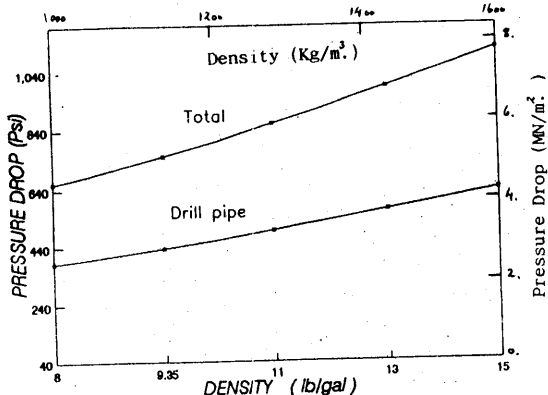
مقایسه گرادیان فشار و توزیع درجه حرارت برای مسیر رفت و برگشت در چاه مذکور به ترتیب در شکل های ۴ و ۱۳ نشان داده شده است. داده های تجربی برای فشار و درجه حرارت تنها در نقاط ورودی و انتهاء چاه موجود بوده است که در شکل نشان داده شده است. مشاهده می شود که با توجه به اینکه دماهی ورودی واقعی و داده شده به برنامه یکسان بوده است، تفاوت کمی (حدود ۱۰٪) بین



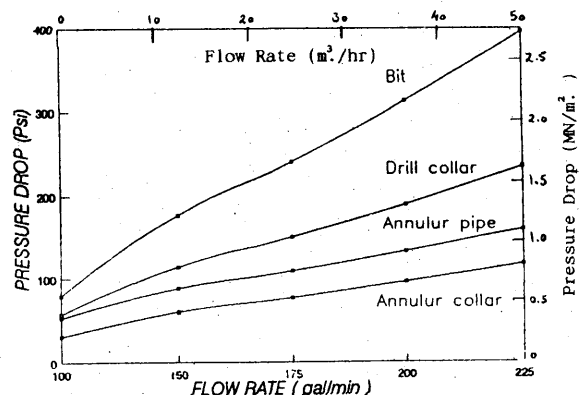
شکل ۹: تغییرات افت فشار در مسیر حرکت، بر حسب دانسیته گل.



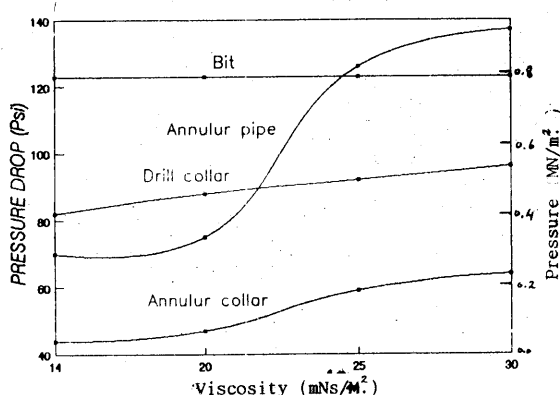
شکل ۶: گرادیان فشار در مسیر برگشت گل، برای گل با دانسیتهای مختلف در چاه.



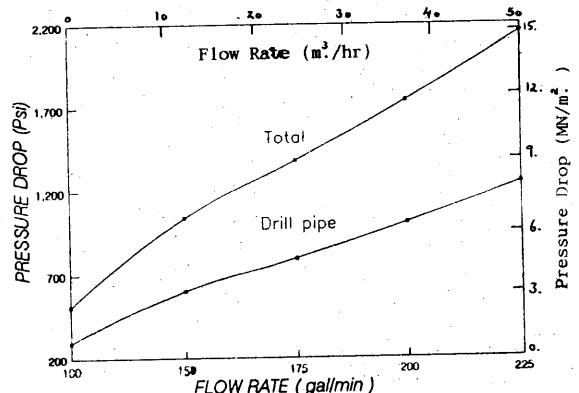
شکل ۱۰: تغییرات افت فشار در مسیر حرکت، بر حسب دانسیته گل.



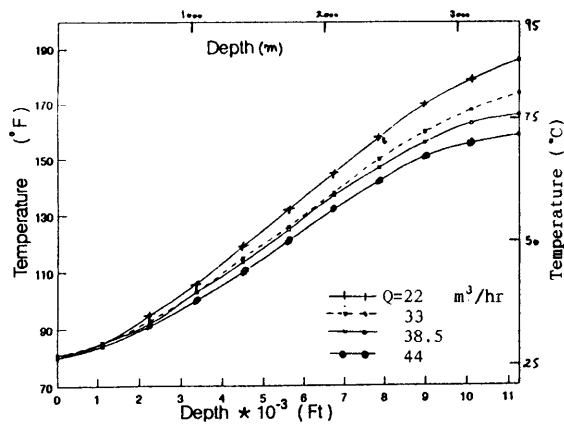
شکل ۷: تغییرات افت فشار در مسیر حرکت، بر حسب دبی جریان گل.



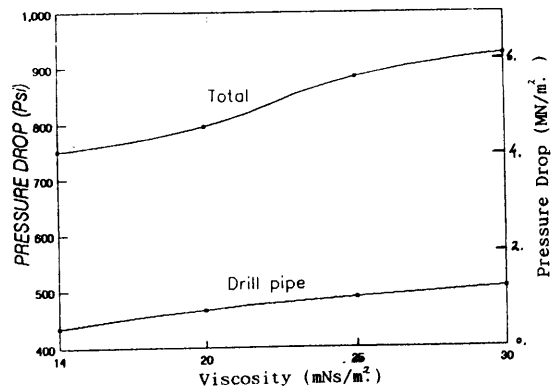
شکل ۱۱: تغییرات افت فشار در مسیر حرکت، بر حسب گرانزوی گل.



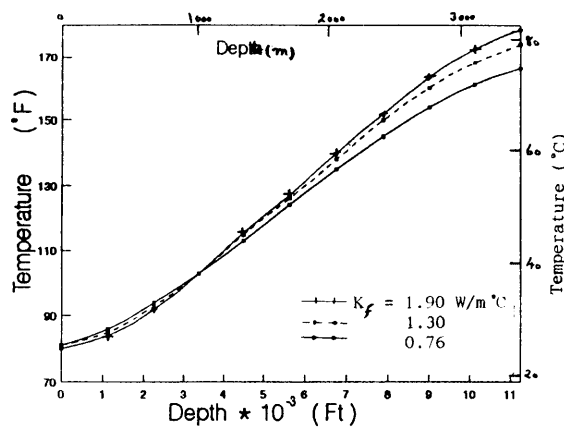
شکل ۸: تغییرات افت فشار در مسیر حرکت، بر حسب دبی جریان گل.



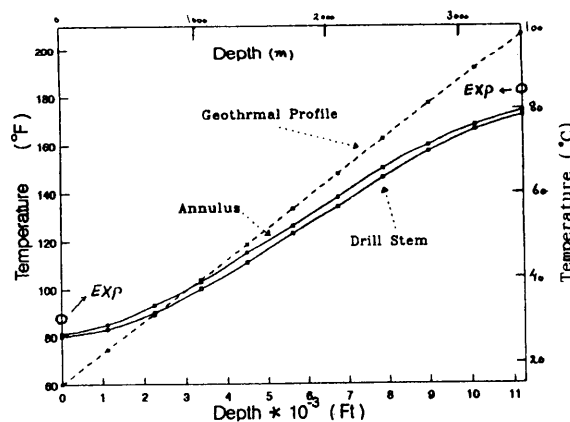
شکل ۱۵: تاثیر دبی جریان گل بر توزیع درجه حرارت برای مسیر برگشت گل در چاه.



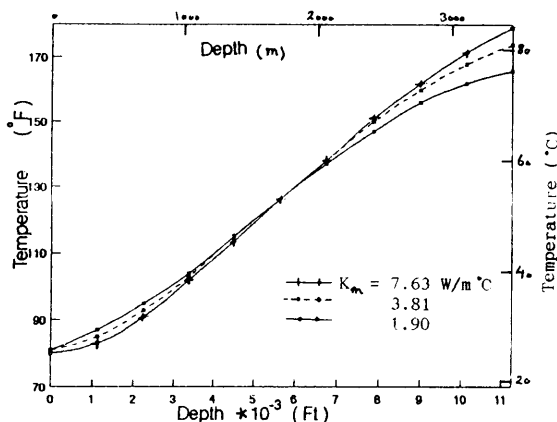
شکل ۱۲: تغییرات افت فشار در مسیر حرکت، بر حسب گرانبروی گل.



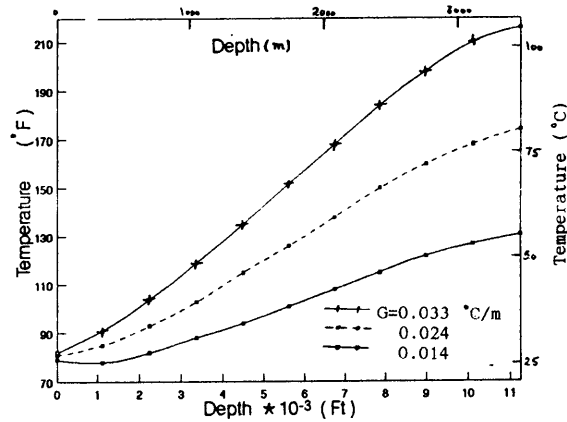
شکل ۱۶: تاثیر ضریب هدایت حرارتی زمین بر توزیع درجه حرارت برای مسیر برگشت گل در چاه.



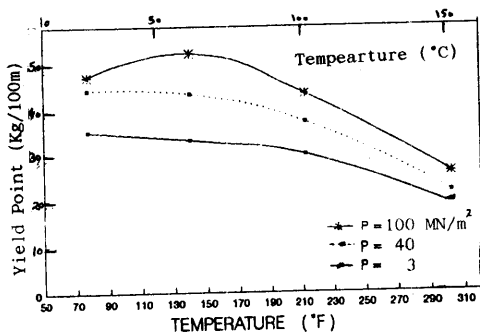
شکل ۱۳: توزیع درجه حرارت برای مسیر رفت و برگشت گل در چاه.



شکل ۱۷: تاثیر ضریب هدایت حرارتی گل بر توزیع درجه حرارت برای مسیر برگشت گل در چاه.



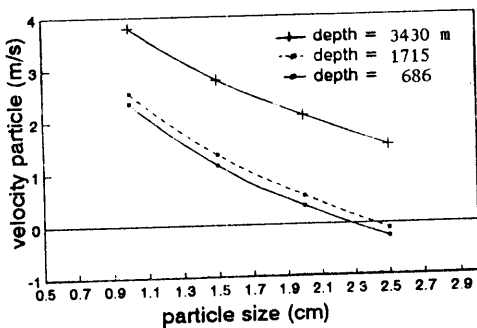
شکل ۱۴: تاثیر شیب درجه حرارت زمین بر توزیع درجه حرارت برای مسیر برگشت گل در چاه.



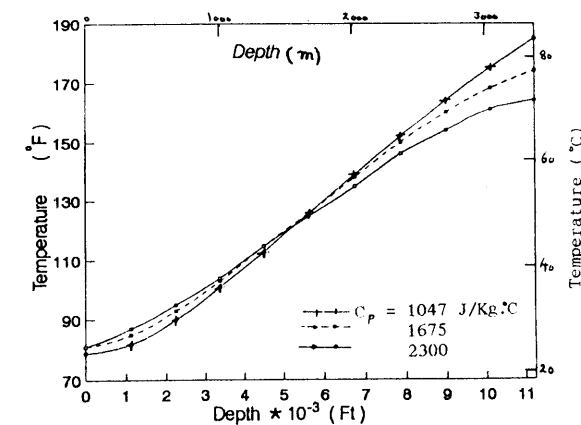
شکل ۲۰: تغییرات تنفس تسليم بر حسب درجه حرارت در فشارهای مختلف برای گل.

هدایت حرارتی زمین و گل، ظرفیت حرارتی گل، گرادیان درجه حرارت در زمین و دبی گل ورودی) انجام شد که نتایج برای گرادیان فشار در شکلهای ۵ الی ۱۲ و برای توزیع درجه حرارت در شکلهای ۱۶ الی ۲۰ نشان داده شده است.

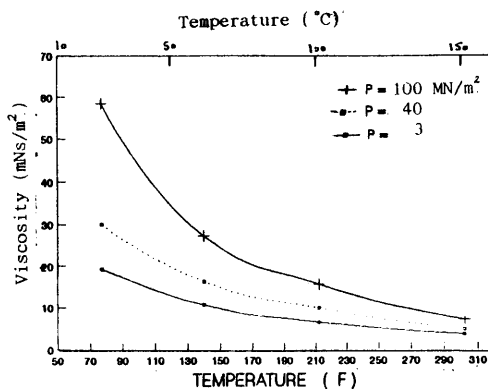
در نهایت با مطالعه دقیق تغییرات گرانزوی با درجه حرارت و فشار و بنابراین با مکان چگونگی رفتار حرکتی کنده‌ها مورد مطالعه قرار گرفته است. شکل ۱۹ و ۲۰ وابستگی گرانزوی و تنفس تسليم به درجه حرارت و فشار را نشان می‌دهد. برآسم این شکلهای سرعت حرکت کنده‌ها به عنوان تابعی از اندازه آنها و مکان در شکل ۲۱ آورده شده است. از بررسی این شکل مشاهده می‌شود که گل مصرفی قادر به حمل کنده‌های با اندازه بزرگتر از $2/3$ سانتیمتر نمی‌باشد.



شکل ۲۱: سرعت حرکت ذرات در عمق‌های مختلف.



شکل ۱۸: تاثیر ظرفیت حرارتی گل بر توزیع درجه حرارت برای مسیر برگشت گل در چاه.



شکل ۱۹: تغییرات گرانزوی خمیره‌ای بر حسب درجه حرارت در فشارهای مختلف برای گل.

مراجع

1. Monicard, R.(1982). "Drilling Mud and Cement Rheology Manual." Gulf Publishing Company.
2. Bared, S. G. (1990). "Another Method Depicting the Effect of Drilling Fluids in a pipe on the pressure Drop." Sept. *Society of Petroleum Engineers*, 21613.
3. Salin G. (1980). "Bared The New Reynolds Number and the Estimated Drilling under High Gravitaions." Sept. *Society of Petroleum Engineers*, 21630.
4. Holmes, C. S. and Swift, S. C. (1970). "Calculation of Circulating Mud Temperatures." *Journal of petroleum Technology*, June.
5. Glowka, D. A. and Stone, C. M. (1985). "Thermal Response of polycrystalline Diamond compact Cutter under Simulated Downhole Conditions." *Society of petroleum Engineers Journal* , April.
- 6- خرقانی، م. "مدلسازی حرکت سیالات غیرنیوتونی و شبیه سازی آن در بهینه سازی حرکت گلپای حفاری." پایان نامه کارشناسی ارشد، دانشکده فنی دانشگاه تهران، (۱۳۷۴).

واژه نامه
گرانروی خمیره ای

1 - Plastic Viscosity